

Радиационные поправки  
к сечению электрон-протонного рассеяния  
в экспериментах по изучению вклада двухфотонного обмена  
и измерению зарядового радиуса протона  
(по материалам кандидатской диссертации)

Герасимов Р. Е.

Институт ядерной физики им. Г.И. Будкера СО РАН

Объединенный семинар ОФВЭ и ОТФ НИЦ КИ - ПИЯФ  
27 августа 2020 г.

- Упругое рассеяние электронов на протонах — важнейший инструмент исследования внутренней структуры протона
- Данные измерений неполяризованных дифференциальных сечений упругого рассеяния оказываются в противоречии с измерениями альтернативными методами для
  - поведения электромагнитных формфакторов протона  $G_{E,M}(Q^2)$
  - зарядового радиуса протона  $r_E$
- Выполнены/предложены новые прецизионные эксперименты для разрешения существующих противоречий
- Анализ экспериментов, связанных с измерением дифференциальных сечений упругого рассеяния, требует аккуратного учета радиационных поправок

## Доклад основан на работах

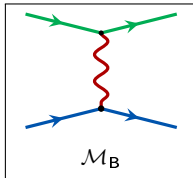
- ① Герасимов, Р. Е. и Фадин, В. С. Анализ приближений, используемых при вычислении радиационных поправок к сечению электрон-протонного рассеяния // Ядерная физика. - 2015. - т. 78, № 1/2. - С. 73–96.
- ② Gerasimov, R. E. and Fadin, V. S. Contribution of  $\Delta(1232)$  to real photon radiative corrections for elastic electron-proton scattering // Journal of Physics G: Nuclear and Particle Physics. - 2016. - V. 43, I. 12. - P.:125003.
- ③ Fadin, V. S. and Gerasimov, R. E. On the cancellation of radiative corrections to the cross section of electron-proton scattering // Physics Letters, Section B: Nuclear, Elementary Particle and High-Energy Physics. - 2019. - V. 795. - P. 172–176.
- ④ Gerasimov R. E. Approximations used in calculations of radiative corrections to electron-proton scattering cross section // Nonlinear Dynamics and Applications: Proceedings of the Twenty first Annual Seminar, NPCS'2014, Minsk, 20-23 May 2014. - 2014. - V. 20. - P. 56-63.

- Формфакторы Сакса  $F_{1,2}$

$$\Gamma^\mu(q) = F_1(Q^2) \gamma^\mu - F_2(Q^2) \frac{[\gamma^\mu, \gamma^\nu] q_\nu}{4M}$$

$q$  — передача 4-импульса протону,  $Q^2 = -q^2$ ,

$M$  — масса протона



- Формула Розенблюта

$$\frac{d\sigma_B}{d\Omega} = \frac{d\sigma_{Mott}}{d\Omega} \frac{\tau G_M^2 + \epsilon G_E^2}{\epsilon(1+\tau)},$$

где электрический и магнитный формфакторы протона  $G_{E,M}$

$$G_E(Q^2) = F_1(Q^2) - \tau F_2(Q^2), \quad G_M(Q^2) = F_1(Q^2) + F_2(Q^2),$$

и введены величины

$$\tau = \frac{Q^2}{4M^2}, \quad \epsilon^{-1} = 1 + 2(1+\tau) \tan^2 \frac{\theta}{2},$$

$\theta$  — угол рассеяния электронов,  $\frac{d\sigma_{Mott}}{d\Omega}$  — моттовское сечение

# Радиационные поправки в мягкофотонном приближении

Расчеты радиационных поправок с использованием мягкофотонного приближения

- необходимы для обработки экспериментов по измерению дифференциального по углу рассеяния электрона сечения упругого электрон-протонного рассеяния  $\frac{d\sigma}{d\Omega}$  (эксперименты с магнитным спектрометром по розенблютовскому разделению формфакторов протона)
- дают поправку к дифференциальному сечению в первом порядке по электромагнитной константе связи  $\alpha$

$$\frac{d\sigma}{d\Omega} = (1 + \delta) \frac{d\sigma_B}{d\Omega}$$

- впервые получены в постановке эксперимента с измерением угла рассеяния и энергии конечного электрона в работе (Tsai, 1961). Процедура Мо и Тсая (Mo, 1968) традиционно использовалась при обработке данных экспериментов вплоть до сравнительно недавних
- Улучшением результатов Мо и Тсая предполагался более современный расчет радиационных поправок, выполненный Максимоном и Тьеоном (Maximon, 2000)

# Виртуальные поправки. Поляризация вакуума $\delta_{\text{vac}}$

- радиационная поправка  $\delta \propto \alpha^1$  и вычисляется как сумма “виртуальной” и “реальной” части

$$\delta = \delta_{\text{virt}} + \delta_{\text{real}}.$$

- “Виртуальная” часть поправки

$$\delta_{\text{virt}} = \delta_{\text{vac}} + \delta_{\text{vertex}}^e + \delta_{\text{vertex}}^p + \delta_{2\gamma}.$$

- $\delta_{\text{vac}}$  выражается через поляризационный оператор:

$$\delta_{\text{vac}} = 2\mathcal{P}(Q^2),$$

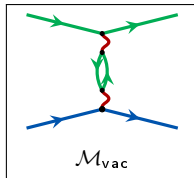
в котором выделяют лептонные и адронный вклады:

$$\mathcal{P}(Q^2) = \mathcal{P}_e(Q^2) + \mathcal{P}_\mu(Q^2) + \mathcal{P}_\tau(Q^2) + \mathcal{P}_h(Q^2).$$

- Электронный вклад при  $Q^2 \gg m^2$ ,  $m$  — масса электрона,

$$\mathcal{P}_e(Q^2) = \frac{\alpha}{3\pi} \left( \ln \left( \frac{Q^2}{m^2} \right) - \frac{5}{3} \right).$$

- В (Mo, 1968) учтен только электронный вклад. Впоследствии при обработке экспериментов (и в (Maximon, 2000)) учитывались и остальные вклады.

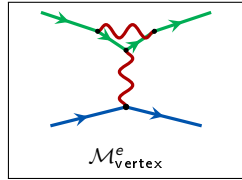


# Поправка к электронной вершине

- $\delta_{\text{vertex}}^e$  в пределе  $Q^2 \gg m^2$

$$\delta_{\text{vertex}}^e = -\frac{\alpha}{\pi} \left( K(I, I') - K(I, I) - \frac{3}{2} \ln \left( \frac{Q^2}{m^2} \right) + 2 \right),$$

$I, I'$  — 4-импульсы начального и конечного электронов



- $K(p_i, p_j)$  — значение треугольного скалярного однопетлевого интеграла

$$K(p_i, p_j) = (p_i \cdot p_j) \int_0^1 \frac{dx}{p_x^2} \ln \left( \frac{p_x^2}{\lambda^2} \right),$$

где  $p_x = xp_i + (1-x)p_j$ ,  $\lambda$  — масса фотона, регуляризующая инфракрасную расходимость.

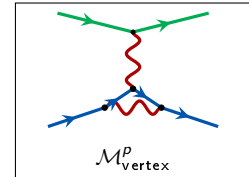
- Значения  $K(I, I')$ ,  $K(I, I)$ :

$$K(I, I') = \ln \left( \frac{Q^2}{m^2} \right) \ln \left( \frac{m^2}{\lambda^2} \right) + \frac{1}{2} \ln^2 \left( \frac{Q^2}{m^2} \right) - \frac{\pi^2}{6}, \quad K(I, I) = \ln \left( \frac{m^2}{\lambda^2} \right)$$

# Поправка к протонной вершине

- $\delta_{\text{vertex}}^p$  не может быть вычислена из первых принципов
- рассматривается в одночастичном приближении, когда учтены только протонные виртуальные состояния и вершины взаимодействия фотонов с протонами взяты на массовой поверхности.
- (Mo, 1968) — стандартное мягкофотонное приближение

$$\delta_{\text{vertex}}^p = -\frac{Z^2 \alpha}{\pi} (K(p, p') - K(p, p)) ,$$



$p, p'$  — 4-импульсы начального и конечного протона,  $Z$  — заряд протона в единицах абсолютного значения заряда электрона  $|e|$  ( $Z = 1$ )

- (Maximon, 2000) — петлевое интегрирование с формфакторами протона с монопольной и дипольной зависимостью от передачи импульса:  $\delta_{\text{vertex}}^{p, \text{MTj}} = \delta_{\text{vertex}}^p + \delta_{\text{virt}}^{(1)}$ ,  $\delta_{\text{virt}}^{(1)} < 0.012$ , при  $Q^2 < 16 \text{ (GeV}/c^2)$

# Амплитуда двухфотонного обмена. I

- $\delta_{2\gamma} = \delta_{\text{box}} + \delta_{x\text{box}}$  представляет наибольшие сложности
- разные варианты мягкофотонного приближения: основной вклад происходит от областей, в которых один из двух обменных фотонов мягкий
- стандартное мягкофотонное приближение

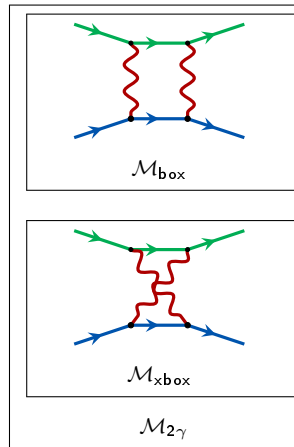
$$\mathcal{M}_{\text{box}}^{\text{soft}} = -\frac{Z\alpha}{2\pi} (K(I, -p) + K(I', -p')) \mathcal{M}_{\text{B}}$$

- дополнительно (Mo, 1968)

$$\text{Re} [\mathcal{M}_{\text{box}}^{\text{MoT}}] \approx -\frac{Z\alpha}{2\pi} (K(I, p) + K(I', p')) \mathcal{M}_{\text{B}}$$

- на самом деле

$$\text{Re}(K(I, -p)) - K(I, p) = -\frac{\pi^2}{2} + \int_{1-\frac{M^2}{s-M^2}}^{1+\frac{M^2}{s-M^2}} d\xi \frac{\ln|1-\xi|}{\xi},$$



# Амплитуда двухфотонного обмена. II

- (Mo, 1968)

$$\delta_{\text{box}}^{\text{MoT}} = -\frac{Z\alpha}{\pi} (K(l, p) + K(l', p'))$$

где

$$K(l, p) = K(l', p') = \frac{1}{2} \ln \frac{4E^2}{m^2} \ln \frac{mM}{\lambda^2} + \frac{1}{2} \ln \frac{s - M^2}{m^2} \ln \frac{s - M^2}{M^2} - \text{Li}_2 \left( 1 - \frac{M^2}{s - M^2} \right),$$

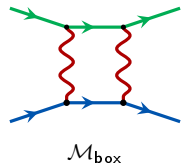
в котором  $s = (l + p)^2$

- (Maximon, 2000)

$$\delta_{\text{box}}^{\text{MTj}} = -\frac{Z\alpha}{\pi} \ln \left( \frac{4E^2}{m^2} \right) \ln \left( \frac{Q^2}{\lambda^2} \right),$$

или в виде петлевого интеграла

$$\delta_{\text{box}}^{\text{MTj}} = -\frac{Z\alpha}{2\pi} \operatorname{Re} \int \frac{d^4 k}{i\pi^2} \frac{2(l \cdot p) q^2}{(k^2 - \lambda^2)((l - k)^2 - m^2)((p + k)^2 - M^2)((q - k)^2 - \lambda^2)}$$



# Амплитуда двухфотонного обмена. III

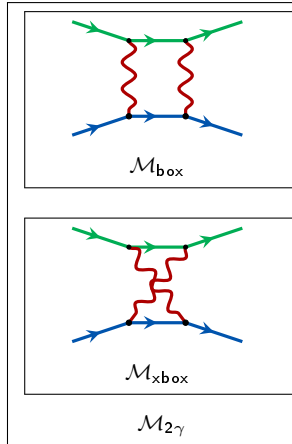
Недостатки подходов к учету вкладов отдельных диаграмм и компенсация в окончательных выражениях

- (Mo, 1968)

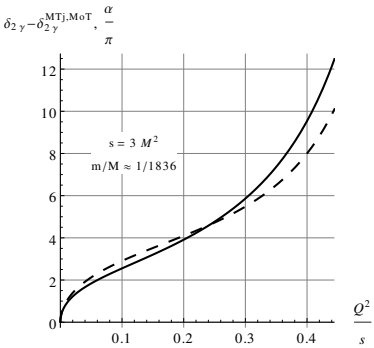
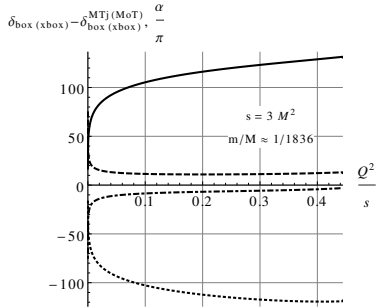
- замена в box-амплитуде  $K(l, -p) \rightarrow K(l, p)$  отбрасывает члены типа  $\pi^2$ , которые исходно присутствуют в членах типа  $\ln^2(-s)$
- но в точном ответе при больших энергиях (в реджевской области) этих квадратов логарифмов заведомо не должно быть
- физически смысл имеет сумма  $\delta_{\text{box}} + \delta_{x\text{box}}$ , в которой в реджевской области квадраты логарифмов сокращаются

- (Maximon, 2000)

- присутствуют лишние дваждылогарифмические сингулярности по массе фермионов: в петлевой интеграл дает вклад область мягких фермионов, которая подавлена в реальном матричном элементе
- опять же физически смысл имеет сумма  $\delta_{\text{box}} + \delta_{x\text{box}}$ , в которой лишние дваждылогарифмические вклады сокращаются

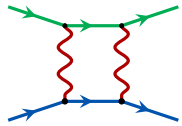


# Амплитуда двухфотонного обмена. Бесструктурный протон

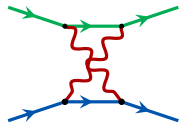


В модели бесструктурного протона

- применимость приближения Мо и Тсая к вычислению по отдельности  $\delta_{(x)\text{box}}$  нарушается только в реджевской области
- применимость приближения Максимона и Тьена к вычислению по отдельности  $\delta_{(x)\text{box}}$  нарушается уже при  $Q^2 \gg m^2$
- физический интерес представляет сумма вкладов, в которой члены, явно нарушающие применимость приближений сокращаются
- качественно ни один из двух вариантов не выглядит предпочтительным, количественно приближение Мо и Тсая может быть и ближе к точному результату для бесструктурных частиц



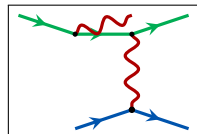
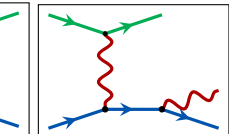
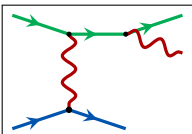
$$\mathcal{M}_{\text{box}}$$



$$\mathcal{M}_{x\text{box}}$$

$$\mathcal{M}_{2\gamma}$$

# Реальные радиационные поправки

 $\mathcal{M}_{\text{brem}}^e$  $\mathcal{M}_{\text{brem}}^p$ 

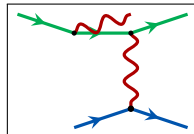
- расчет “реальной” части радиационных поправок основан на мягкофотонном приближении для амплитуд тормозного излучения

$$\mathcal{M}_{\text{brem, soft}}^e + \mathcal{M}_{\text{brem, soft}}^p = e j_\mu(k) \varepsilon^{*\mu}(k) \mathcal{M}_B,$$

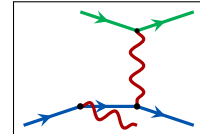
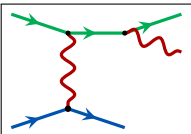
где

$$j_\mu(k) = \frac{l'_\mu}{(k \cdot l')} - \frac{l_\mu}{(k \cdot l)} - Z \frac{p'_\mu}{(k \cdot p')} + Z \frac{p_\mu}{(k \cdot p)},$$

а  $k^\mu = \{\omega = \sqrt{k^2 + \lambda^2}, \mathbf{k}\}$  и  $\varepsilon^{*\mu}(k)$  — 4-векторы импульса и поляризации фотона.



$\mathcal{M}_{\text{brem}}^e$



$\mathcal{M}_{\text{brem}}^p$

- В итоге, получаем в постановке эксперимента с магнитным спектрометром

$$\delta_{\text{real}} = \frac{\alpha}{\pi} \int_{\lambda}^{\eta \Delta E} |k'| d\omega' \int \frac{d\Omega'_\gamma}{4\pi} (-j^2(k)) .$$

где интегрирование удобно проводить в системе отсчета  $| + p - |' = 0$ ,  $\eta = E/E'$  — отношение энергий электронов в упругом процессе,  $\Delta E$  — ограничение, накладываемое на отбор упругих событий. Это выражение совпадает с (Maximon, 2000)

- Оказывается, что результат (Mo, 1968) представляется в виде

$$\delta_{\text{real}}^{MoT} = \frac{\alpha}{\pi} \int_{\lambda}^{\eta \Delta E} \omega' d\omega' \int \frac{d\Omega'_\gamma}{4\pi} (-j^2(k)) .$$

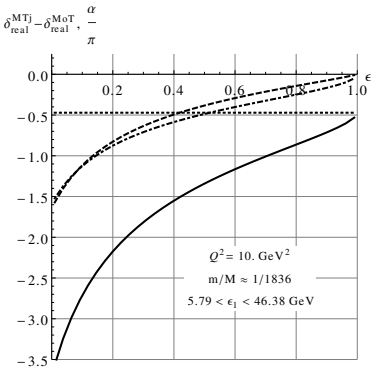
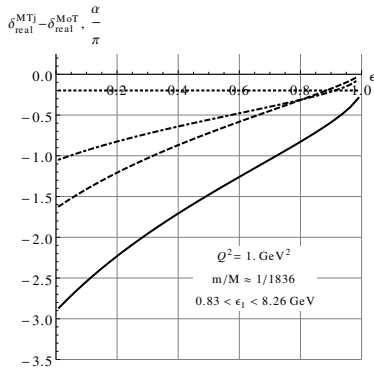
# Реальные радиационные поправки

- разница  $\delta_{\text{real}} - \delta_{\text{real}}^{\text{MoT}}$

$$\begin{aligned}\delta_{\text{real}} - \delta_{\text{real}}^{\text{MoT}} = & \frac{\alpha}{\pi} \left\{ \left[ Li_2 \left( \cos^2 \left( \frac{\theta}{2} \right) \right) - \frac{\pi^2}{6} \right] - \right. \\ & - 2Z \left[ \ln \eta \ln x - Li_2 \left( 1 - \frac{\eta}{x} \right) + Li_2 \left( 1 - \frac{1}{\eta x} \right) + \right. \\ & + \frac{1}{2} Li_2 \left( 1 - \eta \frac{2E'_p}{M} \right) - \frac{1}{2} Li_2 \left( 1 - \frac{2E'_p}{\eta M} \right) \left. \right] \\ & + Z^2 \left[ \frac{E'_p}{|p'|} \left( \ln x - Li_2 \left( 1 - \frac{1}{x^2} \right) + Li_2 \left( -\frac{1}{x^2} \right) + \frac{\pi^2}{12} \right) - \right. \\ & \left. \left. - \ln \left( \frac{4E'_p}{M} \right) + 1 \right] \right\},\end{aligned}$$

где  $x = (E'_p + |p'|)/M$ , а энергия протона  $E'_p = M + Q^2/(2M)$ , т. е.  $E'_p$  и  $x$  зависят только от передачи  $q^2$ .

# Реальные радиационные поправки



- Выполнено сравнение между собой традиционного (Mo, 1969) и более современного (Maximon, 2000) расчетов радиационных поправок к сечению упругого электрон-протонного рассеяния основанных на мягкофотонном приближении
- В модели бесструктурного протона проанализированы точные и приближенные выражения для амплитуды двухфотонного обмена. Обнаружено, что явные недостатки подходов при применении их к отдельных диаграммам компенсируются в полных выражениях для вклада в виртуальные радиационные поправки. Сделан вывод о том, что нельзя отдать предпочтение тому или иному расчету
- В вычислениях радиационных поправок, связанных с излучением реального фотона, установлена неточность традиционной процедуры

# Учет радиационных поправок при изучении эффектов двухфотонного обмена

- проведено три эксперимента (ИЯФ, JLab, DESY), в которых изучались эффекты двухфотонного обмена (ДФО), по измерению отношения сечений  $R = \sigma(e^+ p)/\sigma(e^- p)$ .

$$R \approx 1 - 2\delta_{2\gamma} - 2\delta_{brem, odd},$$

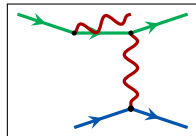
виртуальные радиационные поправки  $\delta_{2\gamma}$  возникают от интерференции амплитуды ДФО с борновской; а  $C$ -нечетные реальные радиационные поправки — от интерференции амплитуд тормозного излучения лептоном и протоном

- поправки содержат инфракрасные расходимости, которые сокращаются в их сумме. Традиционно используется процедура Мо-Тсая (Мо, 1968) для выделения и сокращения инфракраснорасходящихся вкладов

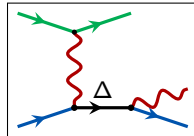
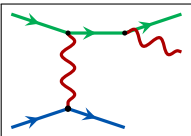
$$\delta_{2\gamma} = \delta_{2\gamma}^{soft} + \delta_{2\gamma}^{hard}, \quad \delta_{brem, odd} = \delta_{brem, odd}^{soft} + \delta_{brem, odd}^{hard}.$$

- чтобы извлечь из эксперимента “жесткий” вклад ДФО  $\delta_{2\gamma}^{hard}$  необходимо учесть “жесткую” часть реальных радиационных поправок. Последняя сильно зависит от конкретных экспериментальных условий  $\delta_{brem, odd}^{hard}$ . Для эксперимента ИЯФ на накопителе ВЭПП-3 был написан генератор событий ESEPP (Gramolin, 2014).

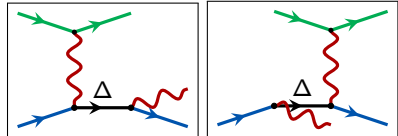
## Вклад $\Delta(1232)$ в тормозном излучении



$M_{\text{brem}}^e$



$M_{\text{brem}}^\Delta$



- Можно было бы ожидать, что  $\Delta(1232)$  даст заметный вклад в радиационные поправки, так как это ближайший резонанс, и он имеет существенный бранчинг распада  $\Delta \rightarrow p\gamma$
- Вклад этих амплитуд может быть вычислен для определенной параметризации переходной вершины  $\gamma\Delta p$ .
- Вклад оказывается малым, далее представим оценки и численные результаты

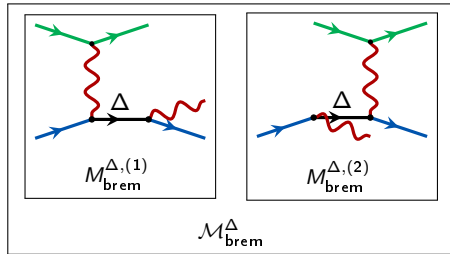
# Переходные формфакторы $\gamma p\Delta$

- введение переходных магнитного  $G_M^*(q^2)$ , электрического  $G_E^*(q^2)$  и кулоновского  $G_C^*(q^2)$  формфакторов (Jones, 1972):

$$\begin{aligned}\Gamma_{\gamma p \rightarrow \Delta}^{\nu\beta}(p_\Delta, q) = & -i\sqrt{\frac{2}{3}} \frac{3(M_\Delta + M)}{2M_p [(M_\Delta + M)^2 - q^2]} \left\{ G_M^*(q^2) \epsilon^{\nu\beta\rho\sigma}(p_\Delta)_\rho q_\sigma \right. \\ & + G_E^*(q^2) \left[ \frac{4\epsilon^{\nu\tau\rho\sigma}(p_\Delta)_\rho q_\sigma g_{\tau\tau'} \epsilon^{\beta\tau'\lambda\kappa}(p_\Delta)_\lambda q_\kappa}{(M_\Delta - M)^2 - q^2} (i\gamma^5) - \epsilon^{\nu\beta\rho\sigma}(p_\Delta)_\rho q_\sigma \right] \\ & \left. + G_C^*(q^2) \frac{2(q^2 p_\Delta^\nu - (q \cdot p_\Delta) q^\nu) q^\beta}{(M_\Delta - M)^2 - q^2} (i\gamma^5) \right\},\end{aligned}$$

- ниже в численных расчетах параметризация формфакторов из (Zhou, 2014)

## Вклад $|M_{\text{brem}}^{\Delta}|^2$ . Оценка



- очень грубая оценка вклада  $|M_{\text{brem}}^{\Delta,(1)}|^2$

$$\delta_{\Delta} \sim \frac{d\sigma_{ep \rightarrow e\Delta}/d\Omega}{d\sigma_{ep \rightarrow ep}/d\Omega} \times \frac{\Gamma_{\Delta \rightarrow p\gamma}}{\Gamma_{\Delta}}.$$

которая дает  $\delta_{\Delta}$  порядка 0.5% в условиях эксперимента на накопителе ВЭПП-3, что не мало.

## Вклад $|M_{\text{brem}}^{\Delta}|^2$ . Более аккуратная оценка

- пропагатор  $\Delta(1232)$

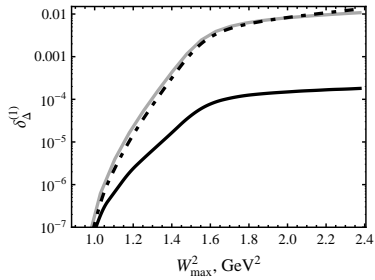
$$\frac{i(\hat{p}_{\Delta} + M_{\Delta})}{p_{\Delta}^2 - M_{\Delta}^2 + i\Gamma_{\Delta}M_{\Delta}} \left( g^{\alpha\beta} - \frac{\gamma^{\alpha}\gamma^{\beta}}{3} - \frac{\hat{p}_{\Delta}\gamma^{\alpha}p_{\Delta}^{\beta} + p_{\Delta}^{\alpha}\gamma^{\beta}\hat{p}_{\Delta}}{3p_{\Delta}^2} \right)$$

- в специальной системе отсчета  $| + p - |' = 0$  переходная вершина  $\Delta \rightarrow \gamma p$  содержит первую степень  $\omega = (W^2 - M^2)/(2W)$ , где  $W^2 = (I + p - I')^2$
- в итоге, более аккуратная оценка вклада  $|M_{\Delta}^{(1)}|^2$  дает:

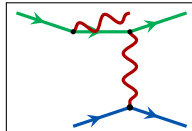
$$\delta_{\Delta}^{(1)} \approx \frac{d\sigma_{ep \rightarrow e\Delta}/d\Omega}{d\sigma_{ep \rightarrow ep}/d\Omega} \times \frac{\Gamma_{\Delta \rightarrow \gamma p}}{\Gamma_{\Delta}} \times \frac{1}{\pi} \int_0^{x_{\max}} \frac{\Gamma_{\Delta}M_{\Delta}}{(x - M_{\Delta}^2 + M)^2 + \Gamma_{\Delta}^2 M_{\Delta}^2} \frac{x^3 dx}{(M_{\Delta}^2 - M^2)^3},$$

где  $x = W^2 - M^2$ ,  $x_{\max} = W_{\max}^2 - M^2$  — максимально допустимое значение при установке, при установке ограничений на энергию рассеянного электрона.

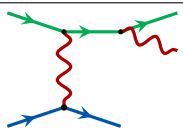
# Вклад $|M_{\text{brem}}^{\Delta}|^2$ . Численные результаты



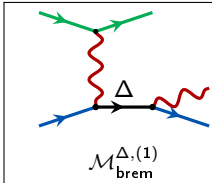
# Интерференция $M_{\text{brem}}^{e,\dagger} M_{\text{brem}}^{\Delta}$ , приближенное выражение



$$\mathcal{M}_{\text{brem}}^{e,\dagger}$$



$$\mathcal{M}_{\text{brem}}^{\Delta,(1)}$$



- Относительно простое выражение для интерференционного вклада  $\delta_{\Delta}^{(\text{int})}$  можно получить, предполагая, что излученный фотон мягкий, и сохраняя первые члены разложения по  $M_{\Delta} - M$

$$\delta_{\Delta}^{(\text{int})} \propto \int \omega d\omega d\Omega_{\gamma} \sum 2\text{Re} \left[ \mathcal{M}_{\text{brem,soft}}^{e,\dagger} \mathcal{M}_{\text{brem}}^{\Delta,(1)} \right],$$

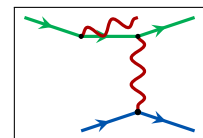
где интегрирования зависит от конкретных экспериментальных ограничений.

- в этом приближении для экспериментов, в которых все направления вылета фотона допустимы (в экспериментах с магнитным спектрометром) в специальной системе отсчета  $| + p - |' = 0$

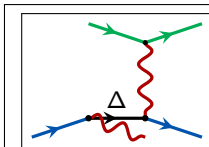
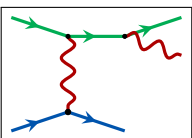
$$2\text{Re} \left[ \mathcal{M}_{\text{brem,soft}}^{e,\dagger} \mathcal{M}_{\Delta}^{(1)} \right] \propto \left[ k \times \left( \frac{|'}{(l'k)} - \frac{|}{(lk)} \right) \right],$$

интеграл по углам вылета фотона обращается в 0

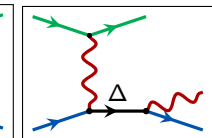
## Результаты II



$$\mathcal{M}_{\text{brem}}^e$$



$$\mathcal{M}_{\text{brem}}^\Delta$$



Интерференция  $\mathcal{M}_{\text{brem}}^{e,\dagger} \mathcal{M}_{\text{brem}}^\Delta$  для эксперимента ВЭПП-3:

- для эксперимента на накопителе ВЭПП-3 область интегрирования по частоте и углу вылета фотона имеет сложную структуру, так как накладываются дополнительные условия на угол вылета конечного протона ( $\Delta\theta_p, \Delta\phi_p$ )
- численное интегрирование приближенного выражение  $\propto \sum 2\text{Re} [\mathcal{M}_{\text{brem,soft}}^{e,\dagger} \mathcal{M}_{\text{brem}}^{\Delta,(1)}]$  дает оценку по порядку величины
- более аккуратное численное интегрирование полного выражения  $\delta_\Delta^{(\text{int})} < 0.01\%$  убеждает, что этот вклад не может повлиять на результаты эксперимента ВЭПП-3, где вклад амплитуд ДФО был обнаружен на уровне 1%

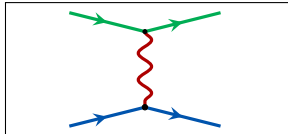
# Эксперимент по измерению зарядового радиуса протона

- Эксперимент, предложенный А. А. Воробьевым (ПИ-ЯФ) [Phys.Part.Nucl.Lett. 16 (2019) 5, 524]:
  - измерение дифференциального по передаче импульса сечения упругого ер-рассеяния
  - при энергии налетающих электронов  $E = 720 \text{ MeV}$
  - для передач импульса  $0.001 \leq Q^2 \leq 0.04 \text{ GeV}^2$
  - регистрация протона отдачи
- условия эксперимента

$$E \simeq E' \sim M, \quad m^2 \ll Q^2 \ll E^2, \quad EM, \quad M^2,$$

$$E'_p = M + \frac{Q^2}{2M}, \quad E' = E - \frac{Q^2}{2M}$$

где  $E, E'$  — энергия начального и конечного электрона в упругом процессе,  $E'_p$  — энергия протона отдачи,  $M, m$  — массы протона и электрона.



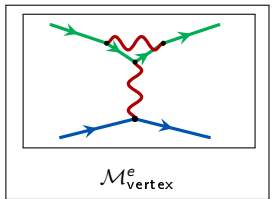
$$\frac{d\sigma_B}{dQ^2} \approx \frac{4\pi\alpha^2}{Q^4} G_E^2(Q^2),$$

$G_E(Q^2)$  — электрический формфактор протона

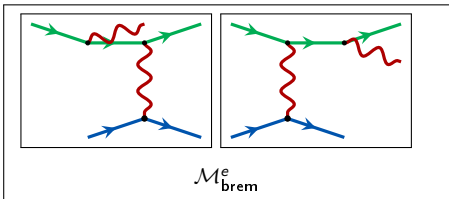
$$G_E(Q^2) \approx 1 - \frac{\langle r_E^2 \rangle}{6} Q^2$$

$\langle r_E^2 \rangle$  — зарядовый радиус ( $0.84(\mu H, H, ep) - 0.88(ep, H)$  fm)

# Радиационные поправки



$\mathcal{M}_{\text{vertex}}^e$



$\mathcal{M}_{\text{brem}}^e$

- учет радиационных поправок

$$d\sigma = d\sigma_B (1 + \delta_{\text{virt}} + \delta_{\text{real}})$$

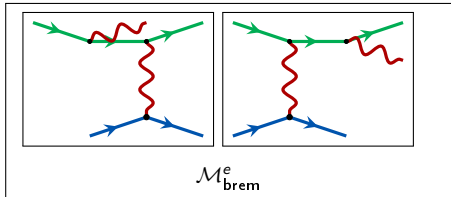
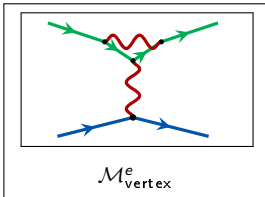
- поправка к электронной вершине

$$\delta_{\text{vertex}}^e = -\frac{\alpha}{\pi} \left[ \left( \ln \frac{Q^2}{m^2} - 1 \right) \ln \frac{m^2}{\lambda^2} + \frac{1}{2} \ln^2 \frac{Q^2}{m^2} - \frac{3}{2} \ln \frac{Q^2}{m^2} - \frac{\pi^2}{6} + 2 \right]$$

- излучение мягких фотонов с частотой  $\omega < \omega_0$  в системе покоя начального протона

$$\begin{aligned} \delta_{\text{soft}}^e = & \frac{\alpha}{\pi} \left[ \left( \ln \left( \frac{Q^2}{m^2} \right) - 1 \right) \ln \left( \frac{4\omega_0^2}{\lambda^2} \right) - \frac{1}{4} \ln^2 \left( \frac{4E^2}{m^2} \right) - \frac{1}{4} \ln^2 \left( \frac{4E'^2}{m^2} \right) \right. \\ & \left. + \frac{1}{2} \ln^2 \left( \frac{4EE'}{Q^2} \right) + \ln \left( \frac{4EE'}{m^2} \right) + \text{Li}_2 \left( 1 - \frac{Q^2}{4EE'} \right) - \frac{\pi^2}{3} \right] \end{aligned}$$

## Поправка к вершине + излучение мягких фотонов

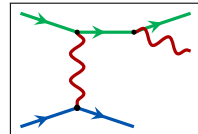


- поправка к вершине + излучение мягких фотонов (в первой строке основной вклад)

$$\delta_{vertex}^e + \delta_{soft}^e = \frac{\alpha}{\pi} \left[ - \left( \ln \left( \frac{Q^2}{m^2} \right) - 1 \right) \ln \left( \frac{EE'}{\omega_0^2} \right) + \frac{3}{2} \ln \frac{Q^2}{m^2} - 2 \right. \\ \left. - \frac{1}{2} \ln^2 \left( \frac{E}{E'} \right) + \text{Li}_2 \left( 1 - \frac{Q^2}{4EE'} \right) - \frac{\pi^2}{6} \right] ,$$

- сумма вкладов содержит коллинеарные логарифмы  $\ln \frac{Q^2}{m^2}$ ,
- необходимо еще учесть вклад излучения "жестких" фотонов
- в общем случае  $\ln \frac{Q^2}{m^2}$  остаются и после учета излучения жестких фотонов

- Метод квазиреальных электронов (Baier V.N., Fadin V.S., Khoze V.A. Nucl.Phys. B 65 (1973) 381) дает простую физическую картину: сечение тормозного излучения — сумма вкладов от излучения начальным и конечным электронами
- излучение конечным электроном (здесь  $I'$ ,  $E'$  — 4-импульс и энергия электрона в упругом процессе,  $k, \omega$  — 4-импульс и частота фотона)



$\mathcal{M}_{f.e.e.}$

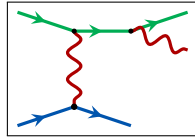
$$\frac{\omega d\sigma^{f.e.e.}}{d^3 k} = \frac{\alpha}{4\pi^2} \left( \frac{E'^2 + (E' - \omega)^2}{\omega E'(k \cdot I')} - \frac{m^2}{(k \cdot I')^2} \frac{(E' - \omega)}{E'} \right) d\sigma_B ,$$

с логарифмической точностью верхний предел по углу излучения фотона принимаем равным углу рассеяния в упругом процессе (возникает  $\ln \frac{Q^2}{m^2}$ )

$$\frac{x d\sigma^{f.e.e.}}{dx} = \frac{\alpha}{2\pi} \ln \frac{Q^2}{m^2} (1 + (1 - x)^2) d\sigma_B , \quad x = \omega/E'$$

- излучение конечным электроном проинтегрированное по частоте фотона от  $\omega_0$  до  $E'$

$$d\sigma^{f.e.e.} = \frac{\alpha}{\pi} \ln \frac{Q^2}{m^2} \left( \ln \frac{E'}{\omega_0} - \frac{3}{4} \right) d\sigma_B .$$



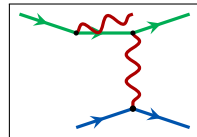
- сокращает коллинеарные логарифмы с коэффициентом  $\ln \frac{E'}{\omega_0}$  и половину вклада с независящим от энергии коэффициентом при добавлении к

$$\delta_{vertex}^e + \delta_{soft}^e \approx \frac{\alpha}{\pi} \left[ - \left( \ln \left( \frac{Q^2}{m^2} \right) - 1 \right) \ln \left( \frac{EE'}{\omega_0^2} \right) + \frac{3}{2} \ln \frac{Q^2}{m^2} - 2 \right]$$

$\mathcal{M}_{f.e.e.}$

- далее покажем, что учет излучения начальным электроном сокращает оставшиеся вклады, содержащие  $\ln \frac{Q^2}{m^2}$

- излучение начальным электроном меняет энергию начального электрона и сечение процесса инициированного электроном после излучения ( $I, E$  — 4-импульс и энергия начального электрона)

 $\mathcal{M}_{i.e.e.}$ 

$$d\sigma^{i.e.e.} = \frac{\alpha}{2\pi} \ln \frac{Q^2}{m^2} \int_{\omega_0/E}^{x_m} \frac{dx}{x} (1 + (1-x)^2) d\sigma_B \Big|_{\vec{l} \rightarrow \vec{l}(1-x)},$$

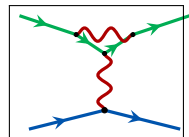
$$x = \omega/E, x_m = 1 - \frac{\sqrt{Q^2(Q^2+4M^2)}+Q^2}{4EM}.$$

- в большинстве экспериментов сокращение радиационных поправок не происходит
- тем не менее в рассматриваемой постановке  $d\sigma_B/dQ^2$  не зависит от энергии электрона и вклад  $d\sigma^{i.e.e.}$  такой же как  $d\sigma^{f.e.e.}$
- Т.о. метод квазиреальных электронов позволяет показать сокращение РП с логарифмической точностью

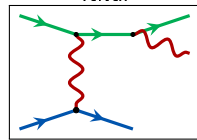
- в однопетлевом приближении сокращение происходит не только с логарифмической точностью, но и члены, не содержащие коллинеарные логарифмы, также сокращаются, первая поправка пропорциональна  $\frac{Q}{E}$

$$\delta_{\text{vertex}}^e + \delta_{\text{soft}}^e + \delta_{\text{hard}}^e = -\frac{\alpha}{\pi} \frac{Q}{4E} \left( \ln \frac{Q^2}{m^2} + \ln \frac{4E^2}{m^2} + 1 \right)$$

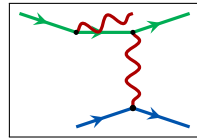
- приближенными методами получить этот результат нельзя, может быть получен двумя способами
  - точным расчетом спектра тормозного излучения с последующим интегрированием по частоте фотона
  - с использованием метода структурных функций



$\mathcal{M}_{\text{vertex}}^e$



$\mathcal{M}_{\text{f.e.e.}}$



$\mathcal{M}_{\text{i.e.e.}}$

# Спектр тормозного излучения I

- для процесса  $e(l) + p(p) \rightarrow e(l') + p(p') + \gamma(k)$ , в котором электроном излучается фотон  $\omega > \omega_0$  используем метод инвариантного интегрирования

$$\frac{d\sigma_{\text{brem}}^e}{M d\omega dQ^2} = \frac{1}{512\pi^4 M^2 E^2} \int d\kappa' d\kappa' \frac{\bar{\sum} |\mathcal{M}_{\text{brem}}^e|^2}{\sqrt{-S}},$$

где  $\kappa = (k \cdot l)$ ,  $\kappa' = (k \cdot l')$ ,  $S$  - кинематический инвариант (детерминант Грама  $\{l, p, l', k\}$ ),  $q = p - p'$  - передача импульса,  $Q^2 = -q^2$

- квадрат матричного элемента

$$\bar{\sum} |\mathcal{M}_{\text{brem}}^e|^2 = \frac{16M^2 e^6}{Q^4} \left\{ \frac{4M^2 G_E^2 + Q^2 G_M^2}{4M^2 + Q^2} \left[ X_1 - \frac{1}{2} X_2 \right] + G_M^2 \frac{Q^2}{4M^2} X_2 \right\},$$

где  $E, E'$ -энергии начального и конечного электронов,  $G_E(Q^2), G_M(Q^2)$  — форм-факторы протона

$$X_1 = \left( \frac{Q^2}{2\kappa\kappa'} - \frac{m^2}{\kappa^2} \right) E'(E - \omega) + \left( \frac{Q^2}{2\kappa\kappa'} - \frac{m^2}{\kappa'^2} \right) E(E' + \omega) - \frac{Q^2}{2M} \left( \frac{E}{\kappa} + \frac{E'}{\kappa'} \right)$$

$$X_2 = \frac{Q^2}{2} \left( \frac{Q^2}{\kappa\kappa'} - \frac{m^2}{\kappa^2} - \frac{m^2}{\kappa'^2} \right) + \left( \frac{\kappa}{\kappa'} + \frac{\kappa'}{\kappa} \right) + Q^2 \left( \frac{1}{\kappa} - \frac{1}{\kappa'} \right)$$

## Спектр тормозного излучения II

- прямое вычисление интегралов позволяет найти дифференциальное по частоте фотона и передаче импульса сечение  $\frac{d\sigma_{\text{brem}}^e}{d\omega dQ^2}$
- выделяется 3 области по частоте фотона, интегрирование по которым дает вклад в радиационные поправки (с точностью до первых поправок содержащих  $Q/\{E, M\}$ )

$$\delta_{\text{hard}}^{(I)} = \int_{\omega_0}^{\omega_-} d\omega \left[ \frac{d\sigma_{\text{brem}}^e}{d\omega dQ^2} / \frac{d\sigma_B}{dQ^2} \right] = \frac{\alpha}{\pi} \left\{ \left( \ln \frac{Q^2}{m^2} - 1 \right) \left( \ln \frac{Q^2}{4\omega_0^2} - \frac{Q}{M} - \frac{Q}{E} \right) \right\}$$

$$\begin{aligned} \delta_{\text{hard}}^{(II)} &= \int_{\omega_-}^{\omega_+} d\omega \left[ \frac{d\sigma_{\text{brem}}^e}{d\omega dQ^2} / \frac{d\sigma_B}{dQ^2} \right] = \frac{\alpha}{\pi} \left\{ \left( \ln \frac{Q^2}{m^2} - 1 \right) \ln \frac{4E^2}{Q^2} - \frac{3}{2} \ln \frac{Q^2}{m^2} + 2 \right. \\ &\quad \left. + \frac{Q}{M} \left( \ln \frac{Q^2}{m^2} - 1 \right) + \frac{Q}{4E} \ln \frac{4E^4}{m^2 Q^2} + \frac{3Q}{2E} \left( \ln \frac{Q}{E} - 1 \right) \right\} \end{aligned}$$

$$\delta_{\text{hard}}^{(III)} = \int_{\omega_+}^{\omega_{\max}} d\omega \left[ \frac{d\sigma_{\text{brem}}^e}{d\omega dQ^2} / \frac{d\sigma_B}{dQ^2} \right] = \frac{\alpha}{\pi} \frac{Q}{4E} \left( \ln \frac{Q^2}{16m^2} + 1 \right)$$

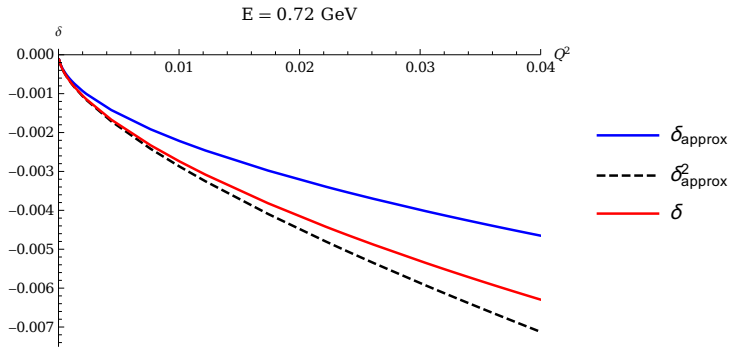
- где  $\omega_- = \frac{Q}{2}$ ,  $\omega_+ = E - \frac{Q}{2}$ ,  $\omega_{\max} = E - \frac{Q^2}{2M}$

## Сокращение радиационных поправок

- приходим к выражению (с точностью до первых поправок содержащих  $Q/E$ )

$$\delta_{\text{vertex}}^e + \delta_{\text{soft}}^e + \delta_{\text{hard}}^e \approx \delta_{\text{approx}} = -\frac{\alpha}{\pi} \frac{Q}{4E} \left( \ln \frac{Q^2}{m^2} + \ln \frac{4E^2}{m^2} + 1 \right)$$

- можно сравнить точный результат в однопетлевом приближении (требуется только малость массы электрона) и разложение по степеням  $Q$



# Метод структурных функций электрона I

- сокращение можно показать с использованием партонной картины, которая применяется к “глубоконеупругому протон-электронному рассеянию”

$$d\sigma = \frac{\pi e^4}{Q^4} \frac{1}{\sqrt{(p \cdot l)^2 - m^2 M^2}} J^{\mu\nu} W_{\mu\nu} \frac{d^3 p'}{(2\pi)^3 2E_p},$$

- протонный тензор  $P = p + p'$

$$J^{\mu\nu} = G_M^2 (g_{\mu\nu} q^2 - q_\mu q_\nu) + \frac{4M^2 G_E^2 + Q^2 G_M^2}{4M^2 + Q^2} P^\mu P^\nu,$$

- тензор “глубоконеупрого протон-электронного рассеяния”

$$W_{\mu\nu}(l, q) = \frac{1}{4\pi} \overline{\sum}_X \langle l | j_\nu^{(e,\dagger)}(0) | X \rangle \langle X | j_\mu^{(e)}(0) | l \rangle (2\pi)^4 \delta(q + l - p_X).$$

Здесь  $|l\rangle$  — начальное состояние электрона,  $X$  — любое состояние, которое рождается  $\gamma e$ -столкновениях

# Метод структурных функций электрона II

- тензор глубоконеупругого рассеяния через структурные функции электрона  $f_{1,2}$

$$W^{\mu\nu}(I, q) = - \left( g^{\mu\nu} - \frac{q^\mu q^\nu}{q^2} \right) f_1(x, Q^2) + \frac{1}{(I \cdot q)} \left( I^\mu - \frac{(I \cdot q)}{q^2} q^\mu \right) \left( I^\nu - \frac{(I \cdot q)}{q^2} q^\nu \right) f_2(x, Q^2),$$

- в результате приходим к общему выражению

$$\frac{d\sigma}{dx dQ^2} = \frac{\pi \alpha^2}{2x^2 Q^2 ((p \cdot I) - m^2 M^2)} \left[ (2Q^2 G_M^2 - 4M^2 G_E^2) f_1(x, Q^2) + \left( -G_M^2 (m^2 Q^2 + (I \cdot q)^2) + \frac{Q^2 G_M^2 + 4M^2 G_E^2}{4M^2 + Q^2} (P \cdot I)^2 \right) \frac{f_2(x, Q^2)}{(I \cdot q)} \right]$$

$$x = \frac{Q^2}{2(I \cdot q)}, \quad (P \cdot I) = 2ME - \frac{Q^2}{2x}.$$

- используя выражения для структурных функций электрона  $f_{1,2}$  в однопетлевом приближении воспроизводится  $\delta_{\text{approx}} \propto Q$  и следующей поправки  $\propto Q^2$

## Метод структурных функций электрона III

- сокращение радиационных поправок с логарифмической точностью имеет место и в более высоких порядках
- с учетом экспериментальных условий и соотношения Каллана-Гросса  $f_2 = 2xf_1$  дает дифференциальное сечение

$$\frac{d\sigma}{dQ^2} = \frac{d\sigma_B}{dQ^2} \int_{x_0}^1 \frac{dx}{x} f_2(x, Q^2), \quad x_0 = \frac{Q}{2E} \ll 1.$$

- с логарифмической точностью структурные функции выражаются через партонные распределения в начальном электроне

$$f_2 = x(f_e^e + f_e^{\bar{e}}),$$

- электронное распределение при этом равно распределению валентных электронов  $f_e^v$ , которое не сингулярно при малых значениях  $x$
- позитронное распределение  $f_e^{\bar{e}}$  появляется в двухпетлевом приближении
- сокращение логарифмических вкладов в РП имеет простое объяснение на языке партонных распределений

$$\int_0^1 dx f_e^v(x, Q^2) = 1$$

вне зависимости от величины  $Q^2$ , т.к. является следствием сохранения заряда

- Различными способами продемонстрировано сокращение вкладов в радиационные поправки к сечению упругого ер-рассеяния для экспериментов по измерению зарядового радиуса протона.
- В однопетлевом приближении обнаружено, что сокращение происходит с точностью до членов, не содержащих коллинеарные логарифмы  $\ln \frac{Q^2}{m^2}$ . Остаточный электронный вклад в радиационные поправки в рассматриваемой постановке эксперимента подавлен первой степенью отношения  $Q/E$ .
- При использовании метода структурных функций электрона сокращение логарифмических вкладов получило простое объяснение на языке “парточных” распределений

# Заключение

- Выполнено сравнение традиционного и более современного расчетов радиационных поправок к сечению упругого электрон-протонного рассеяния, основанных на мягкофотонном приближении. В модели бесструктурного протона проанализированы точные и приближенные выражения для амплитуды двухфотонного обмена. Обнаружено, что явные недостатки подходов при применении их к отдельных диаграммам компенсируются в полных выражениях для вклада в виртуальные радиационные поправки. В вычислениях радиационных поправок, связанных с излучением реального фотона, установлена неточность традиционной процедуры
- Для эксперимента на накопителе ВЭПП-3 в ИЯФ СО РАН проанализирован возможный вклад в радиационные поправки от тормозного излучения с учетом возбуждения  $\Delta(1232)$ . Обнаружено, что он не может существенно повлиять на отношение сечений рассеяния электронов и позитронов на протонах, наблюдавшихся в этом эксперименте
- Исследовано важное свойство экспериментов по измерению зарядового радиуса протона: сокращение главных вкладов в радиационные поправки к дифференциальному по передаче импульса протону сечению упругого рассеяния. Представлено теоретическое описание механизма этого сокращения с использованием различных методов и различной степенью точности